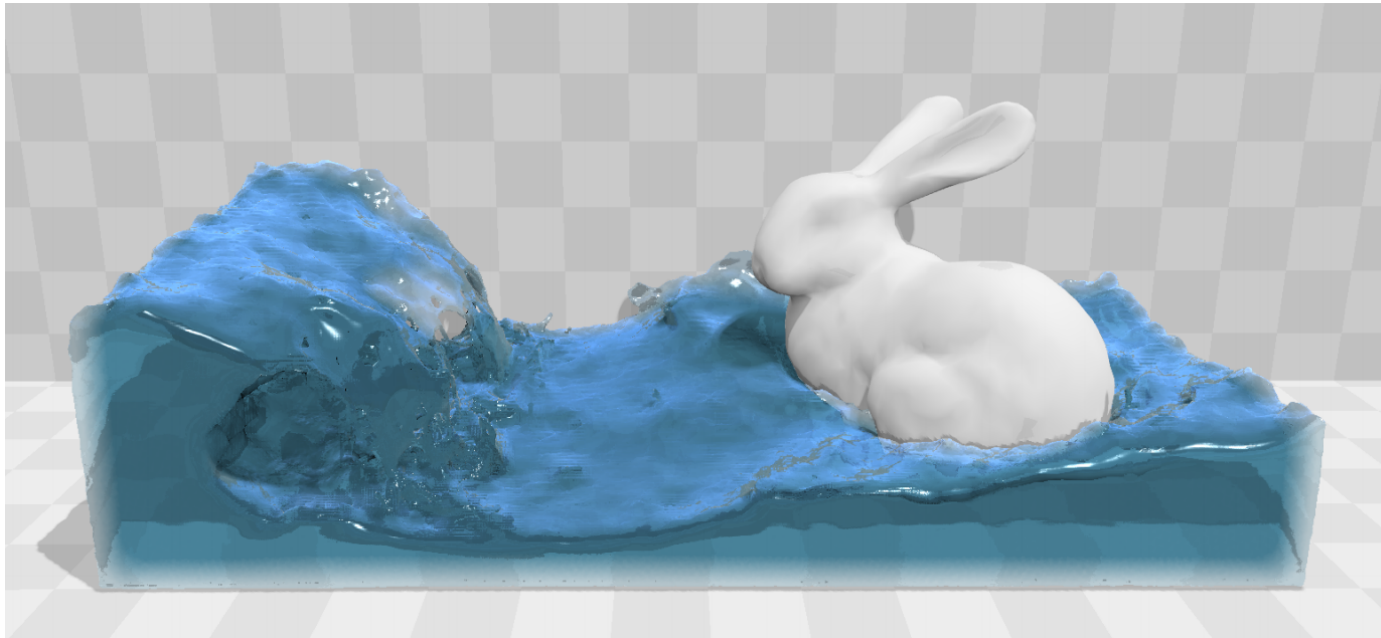


[Note] Position Based Fluids

📅 2020-09-02 | 📅 2021-02-03 | 📁 [Computer Graphics](#) , [Physics Simulation](#) , [Fluid Simulation](#) | 👤

26

📄 8.8k | ⌚ 22 分钟



原论文： M.Macklin and M. Müller. Position Based Fluids. ACM Transactions on Graphics, 2013.



1. Introduction

对于互动的环境来说，流体模拟的稳定性非常重要。Smoothed Particle Hydrodynamics (SPH) 是一个在互动环境中被广泛使用的Particle-Based 方法，然而他却有个致命的缺点：当粒子周围的相邻粒子过少时会很难维持住这个算法的稳定性，尤其以在流体表面、或是在边缘的流体粒子更常发生。将每个Time step 调到足够小，或是增加足够的粒子数量即使可避免掉这项问题，却会大幅度增加计算成本。

Position Based Dynamics (PBD) 在游戏开发或是影片制作中都是很受欢迎的一套物理模拟方式，作者选择使用PBD 正是因为其具有Unconditionally Stable 以及稳定性等性质。这篇Paper 将介绍如何使用PBD Framework 来模拟Incompressible flow，并克服上述在Free Surfaces 发生Particle Deficiency 的问题。

2. Related Work

- Muller [2003] 等人在Particle-Based Fluid Simulation for Interactive Applications中提出使用Smoothed Particle Hydrodynamics (SPH) 模拟具有Viscosity 跟Surface Tension 的流体
- 为了维持住Incompressibility, Weakly Compressible SPH (WCSPH) [2007] 与标准SPH 所使用的Stiff Equation 会大大限制住Time step 的长度。
- Predictive-Corrective Incompressible SPH [2009] 利用Iterative Jacobi-style 方法，藉由不断迭代、累积流体压力并逐步施力的方式，来确保流体能够在较长的Time step 上也能够稳定存在，而不需要额外设置Stiffness value 且可以分散掉不断矫正相邻粒子密度的计算成本。

- Bodin [2012] 将Incompressibility 组成一个Velocity Constraints 的线性方程，并使用 Gauss-Seidel Iteration 解出线性方程来确保流体密度的一致。相反的，Position-Based 跟 PCISPH 则是使用类似Jacobi Iteration 的方法，解出非线性方程，并不断重新估计误差与梯度。
- Hybrid Method，像是Fluid Implicit-Particle (FLIP) 则是使用Grid 来解出流体压力并将流体速度扩散到粒子上模拟。Zhu 与Bridson [2005] 结合PIC/FLIP 方法。Raveendran [2011] 使用Coarse grid 方法混合SPH 趋近divergence free velocity field。
- Clavet [2005] 使用Position Based 方法模拟Viscoelastic Fluids。但是他们的方法只是 Conditionally Stable。
- Position Based Dynamics [2007] 基于Verlet integration 提供一个在游戏中模拟物理的方法。

3. Enforcing Incompressibility

对每一个粒子使用Density Constraint 来确保流体密度不变。Constraint 是每个粒子位置与邻近粒子位置的函数，位置写作 $\mathbf{p}_1, \dots, \mathbf{p}_n$ ，以下是对第 i 个粒子的Constraint Function：

$$C_i(\mathbf{p}_1, \dots, \mathbf{p}_n) = \frac{\rho_i}{\rho_0} - 1 \quad (1)$$

其中 ρ_0 是静止密度(Rest Density)， ρ_i 是由SPH density estimator 计算出来的粒子密度：

$$\rho_i = \sum_j m_j W(\mathbf{p}_i - \mathbf{p}_j, h) \quad (2)$$

使用**Poly6**作为Density Estimator的Kernel。并使用**Spiky Kernel**计算gradient

注: 由于原论文中考虑粒子质量 m_j 为定值且相同，因此在后续推倒公式中皆省略不写，但是在本篇Note 中会将他归至原位。

注: Poly 6 为 6^{th} degree polynomial kernel 的简称，以下为其函数:

$$W_{\text{poly6}}(\mathbf{r}, h) = \frac{315}{64\pi h^9} \begin{cases} (h^2 - \|\mathbf{r}\|^2)^3, & 0 \leq \|\mathbf{r}\| \leq h \\ 0, & \|\mathbf{r}\| > h \end{cases}$$

Poly 6 的Gradient:

$$\nabla W_{\text{poly6}}(\mathbf{r}, h) = -\frac{945}{32\pi h^9} \mathbf{r} (h^2 - \|\mathbf{r}\|^2)^2$$

Poly 6 的Laplacian:

$$\nabla^2 W_{\text{poly6}}(\mathbf{r}, h) = -\frac{945}{32\pi h^9} (h^2 - \|\mathbf{r}\|^2) (3h^2 - 7\|\mathbf{r}\|^2)$$

注: Spiky Kernel 函数:

$$W_{\text{spiky}}(\mathbf{r}, h) = \frac{15}{\pi h^6} \begin{cases} (h - \|\mathbf{r}\|)^3, & 0 \leq \|\mathbf{r}\| \leq h \\ 0, & \|\mathbf{r}\| > h \end{cases}$$

Spiky Kernel 的Gradient:

$$\begin{aligned}\nabla W_{\text{spiky}}(\mathbf{r}, h) &= -\frac{45}{\pi h^6} \frac{\mathbf{r}}{\|\mathbf{r}\|} (h - \|\mathbf{r}\|)^2, \\ \lim_{r \rightarrow 0^-} \nabla W_{\text{spiky}}(\mathbf{r}, h) &= \frac{45}{\pi h^6}, \\ \lim_{r \rightarrow 0^+} \nabla W_{\text{spiky}}(\mathbf{r}, h) &= -\frac{45}{\pi h^6},\end{aligned}$$

Spiky Kernel 的Laplacian:

$$\begin{aligned}\nabla^2 W_{\text{spiky}}(\mathbf{r}, h) &= -\frac{90}{\pi h^6} \frac{1}{\|\mathbf{r}\|} (h - \|\mathbf{r}\|) (h - 2\|\mathbf{r}\|), \\ \lim_{r \rightarrow 0} \nabla^2 W_{\text{spiky}}(\mathbf{r}, h) &= -\infty\end{aligned}$$

PBD 的目标在于找出粒子位置的修正项 $\Delta \mathbf{p}$ 来满足Constraint:

$$C(\mathbf{p} + \Delta \mathbf{p}) = 0 \quad (3)$$

使用牛顿法来求解:

$$\Delta \mathbf{p} \approx \nabla C(\mathbf{p}) \lambda \quad (4)$$

$$C(\mathbf{p} + \Delta \mathbf{p}) \approx C(\mathbf{p}) + \nabla C^T \Delta \mathbf{p} = 0 \quad (5)$$

$$\approx C(\mathbf{p}) + \nabla C^T \nabla C \lambda = 0 \quad (6)$$

注: λ 是一个变量。这个思路其实很简单，我们要追求每一个Time step 都要满足约束函数 C ，但是粒子的位置 \mathbf{p} 不一定会满足，因此我们必须求出修正项 $\Delta \mathbf{p}$ 来修正粒子位置直到满足约束条件。而修正项可以定义为往 $\nabla C(\mathbf{p})$ 方向乘上一个微小变量 λ 。根据Taylor 一阶展开式， $C(\mathbf{p} + \Delta \mathbf{p}) \approx C(\mathbf{p}) + \nabla C^T \Delta \mathbf{p}$ 最后再将 $\Delta \mathbf{p}$ 带入，得到式(6)。

注: ∇C^T 中的 T 是Transpose，由于 ∇C 是向量， $\nabla C^T \Delta \mathbf{p}$ 表示的是向量 ∇C 与向量 $\Delta \mathbf{p}$ 的内积，因此 ∇C 会需要Transpose。

根据SPH 方法，我们可以将粒子 i 对粒子 k 的约束函数 C 梯度定义为：

$$\nabla_{\mathbf{p}_k} C_i = \frac{1}{\rho_0} \sum_j m_j \nabla_{\mathbf{p}_k} W(\mathbf{p}_i - \mathbf{p}_j, h) \quad (7)$$

根据 i 与 k 的关系分为：

$$\nabla_{\mathbf{p}_k} C_i = \frac{1}{\rho_0} \begin{cases} \sum_j m_j \nabla_{\mathbf{p}_k} W(\mathbf{p}_i - \mathbf{p}_j, h) & \text{if } k = i \\ -m_j \nabla_{\mathbf{p}_k} W(\mathbf{p}_i - \mathbf{p}_j, h) & \text{if } k = j \end{cases} \quad (8)$$

注: i 是自身粒子， j 是邻近粒子。由于Kernel W 是 $\mathbf{p}_i - \mathbf{p}_j$ 的函数，因此对于其他 $k \neq i$ 与 $k \neq j$ 的粒子来说其梯度皆为0，只有 $k = i$ 与 $k = j$ 会满足条件。至于对 \mathbf{p}_i 或 \mathbf{p}_j 的梯度差别只在于方向：由于对象都是座标 \mathbf{p} ，因此梯度皆为针对座标每个维度作微分，只是由于 W 是 $\mathbf{p}_i - \mathbf{p}_j$ 的函数，如果是对 \mathbf{p}_i 取 W 梯度则根据 Chain Rule 得到

$\nabla_{\mathbf{p}_i} W = W' \nabla_{\mathbf{p}_i} (\mathbf{p}_i - \mathbf{p}_j) = W'$, 而对 \mathbf{p}_j 取 W 梯度则得到 $\nabla_{\mathbf{p}_j} W = W' \nabla_{\mathbf{p}_j} (\mathbf{p}_i - \mathbf{p}_j) = -W'$, 因此式(8) 在 $k = j$ 的情况下加了一个负号, 将方向导正。

将式(8) 代入式(6) 求得变量 λ :

$$\lambda_i = -\frac{C_i(\mathbf{p}_i, \dots, \mathbf{p}_j)}{\sum_k |\nabla_{\mathbf{p}_k} C_i|^2} \quad (9)$$

注: $|\nabla_{\mathbf{p}_k} C_i|^2$ 是因为式(6) 中的 $\nabla C^T \nabla C$

由于约束函数(1) 是非线性, 当粒子逐渐分离时, Kernel 的边缘值会趋近0, 导致式(9) 的梯度分母逐渐趋近0, 进而造成整体模拟的不稳定性。使用Constraint Force Mixing (CFM) 则可以避免这个情况, 将式(6) 改写为:

$$C(\mathbf{p} + \Delta \mathbf{p}) \approx C(\mathbf{p}) + \nabla C^T \nabla C \lambda + \varepsilon \lambda = 0 \quad (10)$$

其中 ε 是使用者自订的Relaxation Parameter, λ_i 变成:

$$\lambda_i = -\frac{C_i(\mathbf{p}_i, \dots, \mathbf{p}_j)}{\sum_k |\nabla_{\mathbf{p}_k} C_i|^2 + \varepsilon} \quad (11)$$

注:简而言之就是在分母的部份加上一个不为0的微小常数来确保分母不会为0

最后修正项 $\Delta \mathbf{p}_i$ 的函数变成:

$$\Delta \mathbf{p}_i = \frac{1}{\rho_0} \sum_j (\lambda_i + \lambda_j) m_j \nabla W(\mathbf{p}_i - \mathbf{p}_j, h) \quad (12)$$

注:

$$\Delta \mathbf{p}_i = \lambda_i \nabla_{\mathbf{p}_i} C_i + \sum_j \lambda_j \nabla_{\mathbf{p}_j} C_i \quad (9)$$

$$= \frac{1}{\rho_0} \sum_j \lambda_i m_j \nabla_{\mathbf{p}_i} W(\mathbf{p}_i - \mathbf{p}_j, h) + \left(-\frac{1}{\rho_0} \sum_j \lambda_j m_j \nabla_{\mathbf{p}_j} W(\mathbf{p}_i - \mathbf{p}_j, h) \right) \quad (10)$$

$$= \frac{1}{\rho_0} \sum_j \lambda_i m_j \nabla_{\mathbf{p}_i} W(\mathbf{p}_i - \mathbf{p}_j, h) + \frac{1}{\rho_0} \sum_j \lambda_j m_j \nabla_{\mathbf{p}_i} W(\mathbf{p}_i - \mathbf{p}_j, h) \quad (11)$$

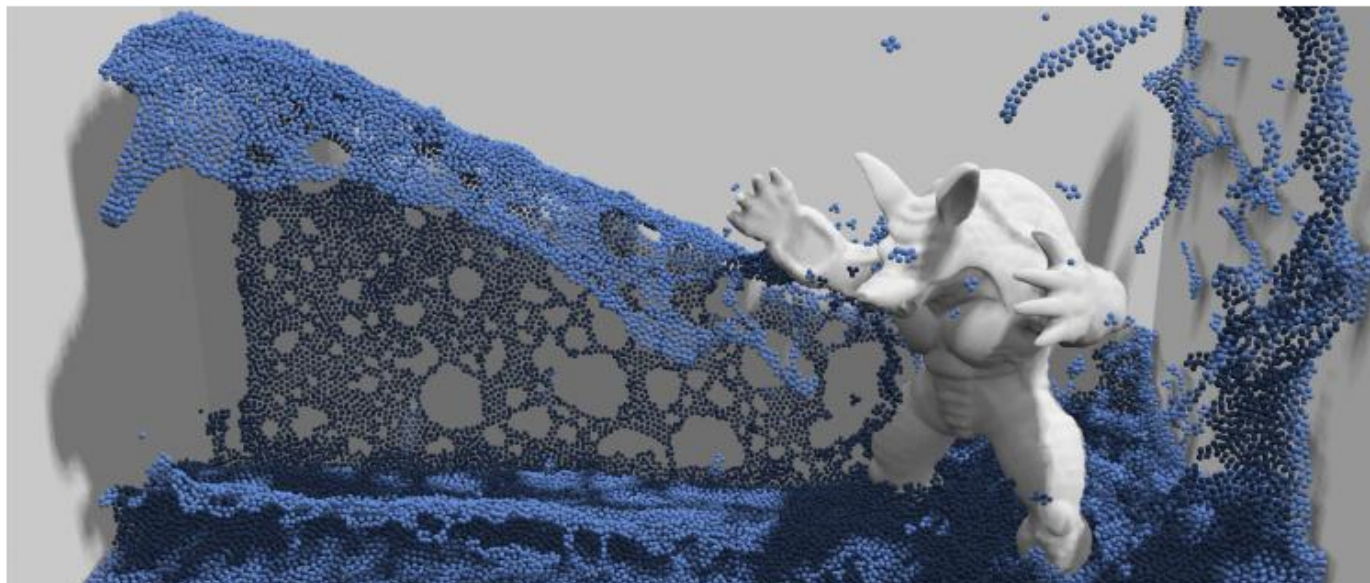
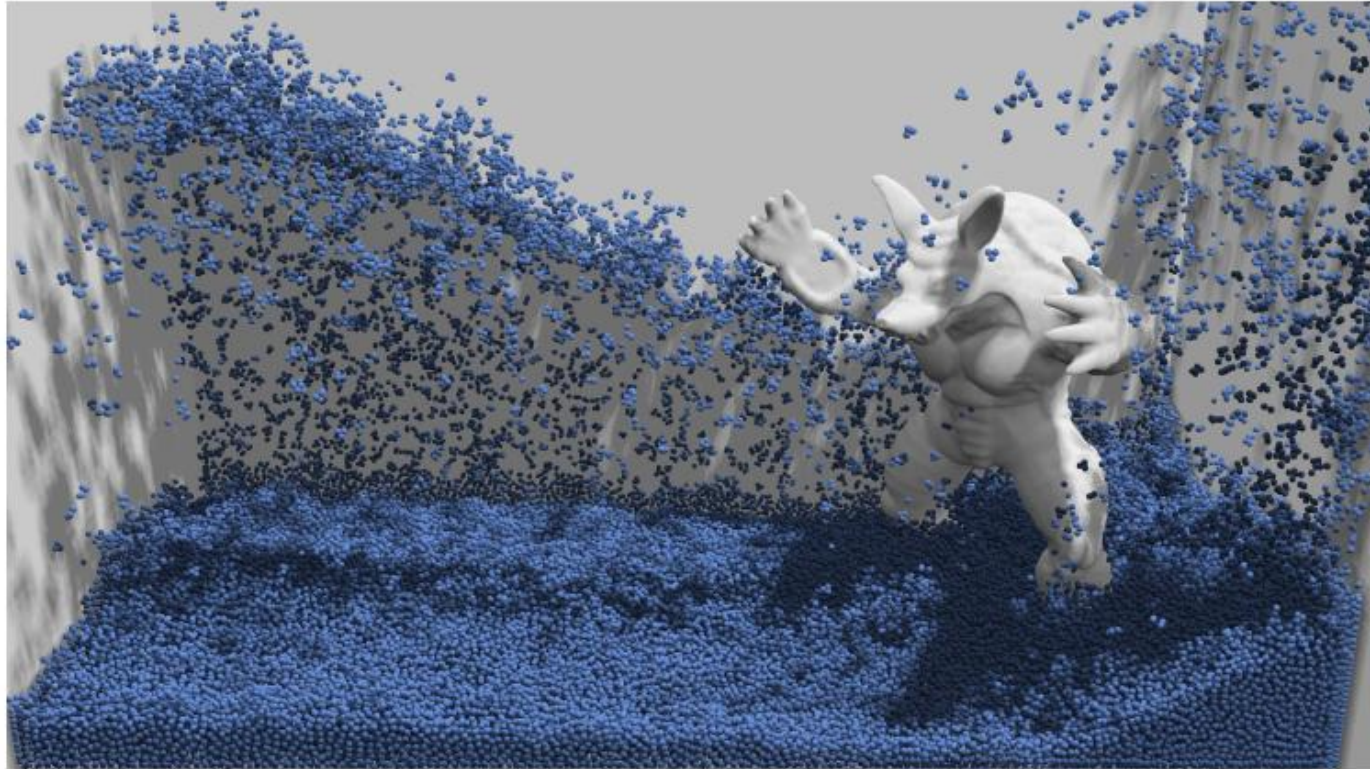
$$= \frac{1}{\rho_0} \sum_j (\lambda_i + \lambda_j) m_j \nabla_{\mathbf{p}_i} W(\mathbf{p}_i - \mathbf{p}_j, h) \quad (12)$$

其中第2 行到第3 行是因为:

$$\because \nabla_{\mathbf{p}_j} W(\mathbf{p}_i - \mathbf{p}_j, h) = -\nabla_{\mathbf{p}_i} W(\mathbf{p}_i - \mathbf{p}_j, h)$$

4. Tensile Instability

SPH 中常见的问题就是因邻近粒子数量不足无法达到Rest Density, 而产生负压力所导致的粒子的聚集效应(粒子间的排斥力变成吸力)。





上图为聚集效应产生的不自然现象/ 下图为施加人工压力项的结果

一种解决方案是对压力做Clamping 让压力不为负值，但是这会让粒子的内聚力衰弱。

注:

```
1  clamp(x) {  
2      return x>0 ? x:0;  
3  }
```

其他解决方案:

- Clavet [2005] 使用second near pressure term
- Alduan and Otaduy [2011] 使用discrete element (DEM) forces
- Schechter and Bridson [2012] 使用ghost particles

此篇论文使用Monaghan [2000] 的方法，加上一个人工压力项:

$$s_{corr} = -k \left(\frac{W(\mathbf{p}_i - \mathbf{p}_j, h)}{W(\Delta \mathbf{q}, h)} \right)^n \quad (13)$$

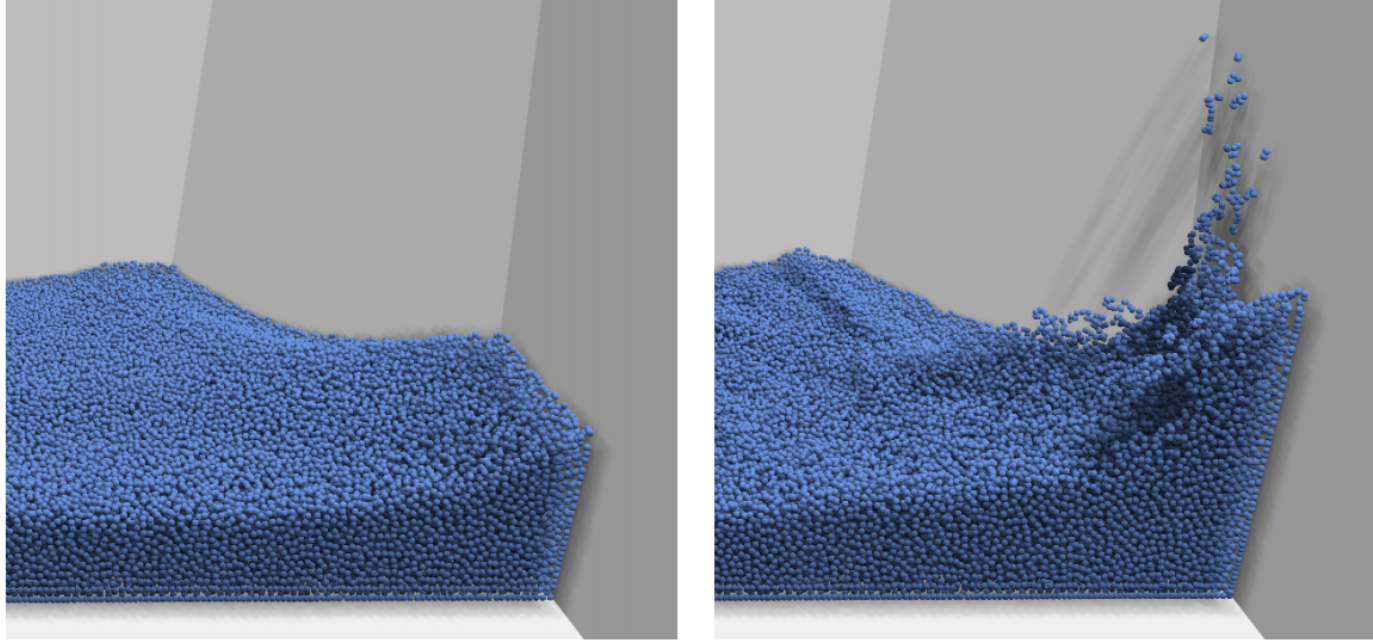
其中 $\Delta \mathbf{q}$ 是固定的距离, k 是微小的正常数。通常取 $|\Delta \mathbf{q}| = 0.1h, \dots, 0.3h$, $k = 0.1$, $n = 4$ 。
将此项纳入修正项:

$$\Delta \mathbf{p}_i = \frac{1}{\rho_0} \sum_j (\lambda_i + \lambda_j + s_{corr}) m_j \nabla W(\mathbf{p}_i - \mathbf{p}_j, h) \quad (14)$$

这个丑陋的项会保持粒子略低于Rest Density, 最终产生出类似Surface Tension 的效果。

5. Vorticity Confinement and Viscosity

PBD 方法通常会产生额外的Damping 造成涡流快速消散。Fedkiw [2001] 引进Vorticity Confinement 方法来克服模拟烟雾时的消散问题(Numerical Dissipation), 后来由Lentine [2011] 当作Energy Conserving 引入流体模拟。Hong [2008] 展示如何将Vorticity Confinement 导入Hybrid 的模拟方法。



左边没有加Vorticity Confinement / 右边有加Vorticity Confinement

此篇文章使用Vorticity Confinement 来补充流失的能量。此方法需要先计算粒子位置的Vorticity, Monaghan [1992]:

$$\omega_i = \nabla \times \mathbf{v} = \sum_j m_j \mathbf{v}_{ij} \times \nabla \mathbf{p}_j W(\mathbf{p}_i - \mathbf{p}_j, h) \quad (15)$$

$$\mathbf{f}_i^{\text{vorticity}} = \varepsilon (\mathbf{N} \times \omega_i) \quad (16)$$

其中 $\mathbf{N} = \frac{\eta}{|\eta|}$, $\eta = \nabla |\omega|_i$, $\mathbf{v}_{ij} = \mathbf{v}_j - \mathbf{v}_i$.

注:这边有点小Tricky, 原论文里面也没有写清楚, 首先这边目标是加速粒子的涡流速度, 因此他先算出旋度向量 ω_i , 也就是遵守右手定则的旋转轴心方向(大拇指指的方向)。接着用 ω_i 的 Gradient L2-norm 算出往旋转轴心方向的向量 η , 算出单位向量 \mathbf{N} , 最后再用外积算出旋转方向并乘上 ε 算出Vorticity forces

注:

$$\eta = \nabla|\omega| = \nabla\left(\sum_{k=1}^n \omega_k^2\right)^{\frac{1}{2}} \quad (13)$$

$$= \sum_{j=1}^n \frac{\partial}{\partial \omega_j} \left(\sum_{k=1}^n \omega_k^2\right)^{\frac{1}{2}} \hat{\omega}_j \quad (14)$$

$$= \frac{1}{2} \sum_{j=1}^n \frac{2\omega_j}{\left(\sum_{k=1}^n \omega_k^2\right)^{\frac{1}{2}}} \hat{\omega}_j \quad (15)$$

$$= \sum_{j=1}^n \frac{\omega_j}{|\omega|} \hat{\omega}_j \quad (16)$$

此外, 此篇论文也使用XSPH viscosity 来模拟流体的黏滯力:

$$\mathbf{v}_i^{new} = \mathbf{v}_i + c \sum_j m_j \mathbf{v}_{ij} \cdot W(\mathbf{p}_i - \mathbf{p}_j, h) \quad (17)$$

其中, 参数 c 通常设为0.1。

6. Algorithm

Algorithm 1 Simulation Loop

```

1: for all particles  $i$  do
2:   apply forces  $\mathbf{v}_i \leftarrow \mathbf{v}_i + \Delta t \mathbf{f}_{ext}(\mathbf{x}_i)$ 
3:   predict position  $\mathbf{x}_i^* \leftarrow \mathbf{x}_i + \Delta t \mathbf{v}_i$ 
4: end for
5: for all particles  $i$  do
6:   find neighboring particles  $N_i(\mathbf{x}_i^*)$ 
7: end for
8: while  $iter < solverIterations$  do
9:   for all particles  $i$  do
10:    calculate  $\lambda_i$ 
11:   end for
12:   for all particles  $i$  do
13:    calculate  $\Delta \mathbf{p}_i$ 
14:    perform collision detection and response
15:   end for
16:   for all particles  $i$  do
17:    update position  $\mathbf{x}_i^* \leftarrow \mathbf{x}_i^* + \Delta \mathbf{p}_i$ 
18:   end for
19: end while
20: for all particles  $i$  do
21:   update velocity  $\mathbf{v}_i \leftarrow \frac{1}{\Delta t} (\mathbf{x}_i^* - \mathbf{x}_i)$ 
22:   apply vorticity confinement and XSPH viscosity
23:   update position  $\mathbf{x}_i \leftarrow \mathbf{x}_i^*$ 
24: end for

```

7. Rendering

使用GPU based ellipsoid splatting technique 详情见 [液体渲染：一种屏幕空间方法](#)

相关文章

- [\[Note\] AuTO: Scaling Deep Reinforcement Learnign for Datacenter-Scale Automatic Traffic Optimization](#)
- [\[Note\] Quantum Computation and Quantum Information - Chapter 3: Introduction to compuer science](#)
- [\[Note\] Quantum Computation and Quantum Information - Midterm exam](#)
- [\[Note\] Quantum Computation and Quantum Information - Final exam](#)
- [\[Note\] Quantum Computation and Quantum Information - Chapter 4: Quantum Circuits](#)

想喝咖啡☕

捐赠

💎Note 💎Paper Note 💎Computer Graphics 💎Physics Simulation 💎Fluid Simulation

< [\[Note\] 神的语言Metaprogramming: one_of](#)

[\[Note\] AuTO: Scaling Deep Reinforcement Learnign for Datacenter-Scale Automatic Traffic Optimization](#) >

0 条评论

访客 ▾



写点什么

[📘 支援Markdown 语法](#)

[使用GitHub 登入](#)

[预览](#)

成为首个留言的人吧!

© 2021  Joe Hsiao |  388k |  16:10